

Kliewer<sup>[7]</sup> 表面声子，从而直接或间接地产生所观测到的声表面波。Dransfeld 教授建议将 Brillouin 散射实验扩展到其它的散射角，从而可以得到激发起的弹性表面波频率分布的更多知识；还建议在 20K 以下进行实验。这是一项有意义的研究工作。

## 6. 磁振子 (Magnon, 自旋波) 的研究

我们知道，磁性材料中，点阵自旋间相互耦合而发生的相对取向的振动，形成自旋波。自旋波的量子化就是磁振子 (Magnon)。

类似于光子-声子散射，光子与磁振子之间也存在散射效应。所以，在 Brillouin 散射技术被成功地用于研究声学声子性质的同时，该项技术也逐渐成为研究铁磁和亚铁磁材料声学磁振子的有用工具。1978 年，Sandercock<sup>[8]</sup> 采用三通串接二通的方法，首先将研究对象扩展到多晶态金属材料 Fe 和 Ni，得到图 9 所示的磁振子谱。其中  $S$  为表面磁振子模式， $B_s$ ,  $B_{as}$  为体磁振子模式。当样品磁场反向时，表面磁振子模式  $S$  将转移到 Rayleigh 线的另一侧。同年，Chang .P. H<sup>[9]</sup> (物理所张鹏翔) 等人又研究了金属玻璃态  $\text{Fe}_{40} \text{Ni}_{40} \text{P}_{14} \text{B}_6$  和  $\text{Fe}_{80} \text{B}_{20}$ ，得到用其它方法难以得到的有关磁性和弹性信息。其后，Grimsditch<sup>[10]</sup> 进一步观测到磁振子峰分裂为亚结构，对应于垂直于膜表面的磁振子。

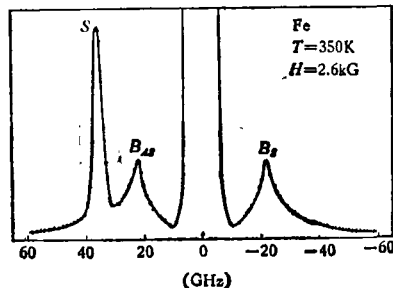


图 9 金属 Fe 的磁振子谱

子波矢的空间量子化。这个领域尚有许多研究工作值得进行。

## 参 考 文 献

- [1] I. L. Fabelinskii, *Molecular Scattering of Light*, Plenum Press, New York, (1968), 145.
- [2] H. J. Maris, *Phonon Scattering in Condensed Matter*, Plenum Press, New York, (1979), 61.
- [3] R. W. Smith, *J. Acoust. Soc. Am.*, **49** (1971), 1033.
- [4] R. Loudon, *Phys. Rev. Lett.*, **40** (1978), 581.
- [5] D. L. Mills, *Phys. Rev. B*, **15** (1977), 3097.
- [6] J. R. Sandercock, *Solid. St. Commun.*, **26** (1978), 547.
- [7] R. Matz et al., *Phys. Rev. Lett.*, **46** (1981), 500.
- [8] J. R. Sandercock et al., *IEEE Trans. Mag.*, **14** (1978), 442.
- [9] Chang. P. H. et al., *Solid. St. Commun.*, **27** (1978), 617.
- [10] M. Grimsditch et al., *Phys. Rev. Lett.*, **43** (1979), 711.

# 原子核的巨共振和辐射俘获反应

高 良 俊

(中国科学院原子能研究所)

## 一、什么是原子核的巨共振？

巨共振是受激原子核中多数核子参与并相干的集体运动状态。在巨共振模式中发射粒子能谱呈现出的共振峰，比单粒子激发模式发射粒子能谱的共振峰要宽大得多。为了在比较中

区别这两种共振。请看入射质子能量为 60.5 MeV，在 20° 角测得的  $^{56}\text{Fe}(p, p')$  非弹性散射能谱 (图 1)。

从图 1 中我们会看到：激发能  $E_x$  在 8 MeV 以下，能谱出现许多起伏陡峭的尖锐的共振峰。通常我们称这样的共振为狭共振，狭共振峰的谱形可以用单粒子壳模型理论来解释。大约在

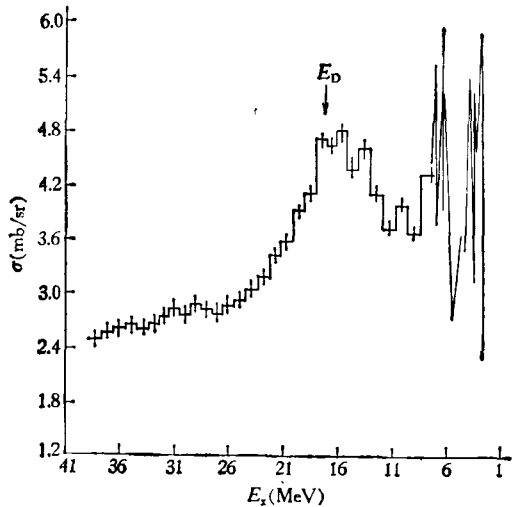


图 1 在  $20^\circ$  角测得的  $^{56}\text{Fe}(p,p')$  非弹性散射质子能谱<sup>[1]</sup>

激发能  $E_x$  等于  $18\text{ MeV}$  左右 (图 1 中  $E_D$  箭号所指的地方) 出现了一个宽大的巨型共振峰, 这就是原子核的巨共振峰。

近些年来, 人们用足够能量的粒子去轰击元素周期表上各种核素, 除了少数较轻的核素之外, 在小角度测得发射粒子的能谱, 几乎都观察到了巨共振现象。巨共振激发能量的大小与靶核核子数  $A$  的立方根成反比。大量的实验证明了电偶极巨共振的激发能  $E_x \approx 78A^{-1/3}$ ; 而电四极巨共振的激发能为  $E_x \approx 63A^{-1/3}$ 。其他多极巨共振也有类似的规律。

## 二、原子核巨多极共振的解释

早在 1947 年 Baldwin 和 Klaiber<sup>[2]</sup> 从光核反应中就观察到 1944 年 Migdal<sup>[3]</sup> 曾经预言的强共振现象。这种共振对光子有很强的吸收能力。后来人们证明它是电巨偶极共振。对巨偶极共振, 在历史上出现过两种不同的解释法: Goldhaber 和 Teller<sup>[4]</sup> 认为, 入射光束照射在靶核上, 使得靶核受到激发, 如果激发能达到了它的巨偶极共振能量, 靶核的中子和质子就向两极分化, 它的一个极端集中了较多的中子, 相反的另一个极端集中了较多的质子, 这就形成了

中子集团相对于质子集团的巨偶极共振。这种巨偶极共振需要一定的能量, 因此它能吸收较强的光束。这种理论简称为 GT 模型。

另一种解释是由 Steinwedel-Jensen<sup>[5]</sup> 提出的, 他们认为原子核是由可压缩与互相渗透的中子流体和质子流体组成, 这两种流体受原子核表面张力的约束而被限制在核内。当原子核受到激发之后, 两种流体的相对运动便随之增强, 如果激发能适逢巨共振能量, 就在不同激发能的地方出现各种形态的巨共振; 这就是所谓的 SJ 模型。用 SJ 模型不仅能解释巨偶极共振, 也能解释其他多极巨共振。由于质子带电, 中子不带电, 两者的同位旋是有区别的。又因为两种流体相对运动时, 它们的自旋取向可能是相同或相反。因此出现了四种巨共振, 即同位旋标量电巨共振、同位旋标量磁巨共振和同位旋矢量电巨共振、同位旋矢量磁巨共振。

此外, 原子核的多极形变是用球谐函数  $Y_{LM}(\theta, \varphi)$  来描写的:

$$R(\theta, \varphi) = R_0 \left[ 1 + \sum_{LM} \alpha_{LM} Y_{LM}(\theta, \varphi) \right], \quad (1)$$

这里  $R(\theta, \varphi)$  是变形核的半径, 它是  $\theta$  和  $\varphi$  角的函数, 式中  $R_0$  是球形核的半径。 $\alpha_{LM}$  是变形参数。这里用量子数  $L$  来计算巨共振的极:  $2^L$ ,  $L = 0$  (单极),  $L = 1$  (偶极),  $L = 2$  (四极)  $L = 3$  (八极) 等等, 见图 2。

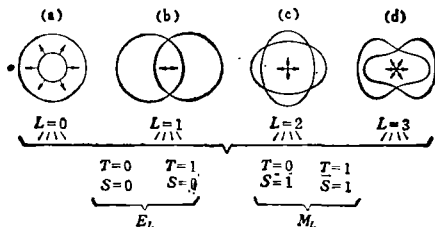


图 2 SJ 模型 16 类巨共振示意图  
 $T$ —同位旋,  $S$ —自旋,  $E_L$ —电多极巨共振,  
 $M_L$ —磁多极巨共振

图 2 中 a 是单极巨共振; b 是偶极巨共振, c 是四极巨共振; d 是八极巨共振的图形。从其中的 a 图可以看出:  $L = 0$ ,  $T = 0$ ,  $S = 0$  是同位旋标量电单极巨共振;  $L = 0$ ,  $T = 1$ ,

$S = 0$  是同位旋矢量电单极巨共振； $L = 0, T = 0, S = 1$  是同位旋标量磁单极巨共振； $L = 0, T = 1, S = 1$  是同位旋矢量磁单极巨共振。图 2 中的 b, c 和 d 每个都具有上述四类巨共振。 $L = 0, 1, 2, 3$  一共有  $4 \times 4 = 16$  类巨多极共振。这些共振构成了原子核多极巨共振的复杂图象。当然，这 16 类多极巨共振并非孤立存在的，对于一个具体的受激原子核来说，往往是几类多极巨共振彼此重叠。需要用精密的仪器和特殊的方法，才能把它们区分开来。

值得特别提出的是单极 ( $L = 0$ ) 巨共振。这是一种保持原子核球面不发生畸变，间有收缩和膨胀交替发生的集体振动。形象地称之为“呼吸”式的振动。由于这种单极巨共振的存在，表明原子核具有可压缩的性质，由此突破了原子核是不可压缩的旧概念。使得我们对核结构，核物质的认识，有了一个飞跃性的提高。目前世界上对巨多极共振的研究是非常活跃的<sup>[9]</sup>，它是现阶段核物理中一个重要的前沿课题。

### 三、电巨偶极共振辐射俘获截面

根据原子核巨共振的 SJ 模型，Clement<sup>[6]</sup>首先给出了概括上述 16 类巨共振方式的粒子——振动耦合势。在这些巨共振方式中，对辐射俘获截面贡献最大的是电巨偶极共振，Clement 推导出了描写电巨偶极共振的哈密顿量：

$$H_{E_1} = \frac{\nu_1}{2} \left( \frac{NZ}{A^2} \right) \delta(r - R_0) \frac{\mathbf{r} \cdot \boldsymbol{\eta}}{|\mathbf{r}|} \tau_3, \quad (2)$$

这里  $\nu_1$  是光学模型中与同位旋有关的势阱深度； $N, Z$  和  $A$  分别是靶核的中子，质子和核子数； $\mathbf{r}$  是入射核子与靶核相对位置坐标； $\tau_3$  是同位旋分量，其本征值对中子为 1，对质子为 -1。矢量  $\boldsymbol{\eta} = \mathbf{R}_n - \mathbf{R}_p$ ， $\mathbf{R}_n$  和  $\mathbf{R}_p$  分别为中子和质子系统的质心坐标。(2)式中的  $\delta(r - R_0)$  函数表明靶核对入射粒子是表面吸收。当入射粒子打在靶核上并为靶核吸收之后，这

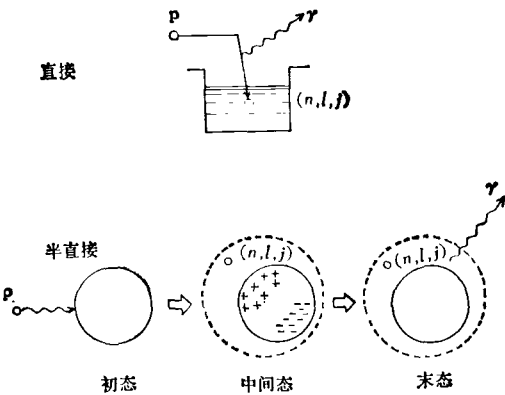


图 3 直接-半直接辐射俘获示意图<sup>[7]</sup>

时的原子核既有单粒子的激发，又有集体的激发。单粒子激发放出的  $\gamma$  较弱，称为直接辐射俘获反应；集体激发即通过巨偶极共振的辐射俘获反应，放出较强的  $\gamma$  射线，通常我们称为半直接辐射俘获反应，直接-半直接辐射俘获反应的物理图象见图 3。

图 3 的上半部分表示粒子 P 打在靶核 ( $n, l, j$ ) 壳上，放出  $\gamma$  的直接辐射俘获反应。下半部分表示入射粒子 P 打在靶核上，经过中间巨偶极共振态并发射  $\gamma$  之后，到达末态的半直接辐射俘获反应。中间态的“+”和“-”号，表示巨偶极共振态中的中子和质子两极分化。

利用公式(2)可以写出直接-半直接辐射俘获跃迁矩阵元<sup>[7]</sup>

$$|M_{i \rightarrow f}| = \langle \Psi_f | H^{(N)} | \Psi_i \rangle + \frac{\langle \Psi_f | H^{(t)} | \Psi_{int} \rangle \langle \Psi_{int} | H_{E_1} | \Psi_i \rangle}{E - E_R + i\Gamma}. \quad (3)$$

(3) 式中右边第一项是直接辐射俘获的跃迁矩阵元，第二项是半直接辐射俘获的跃迁矩阵元。其中用的  $\Psi_i$ ,  $\Psi_{int}$  和  $\Psi_f$  分别是系统的初态、中间态和末态的波函数。 $H^{(N)}$  和  $H^{(t)}$  是单粒子电偶极跃迁和电巨偶极跃迁算符。分母中的  $E_R$  和  $\Gamma$  是巨共振的能量和宽度。用(3)式不难得到直接-半直接辐射俘获截面：

$$\sigma_{i \rightarrow f} = \frac{16\pi}{9} \frac{M k_r^2}{\hbar^2 k'} \sum_{m_i, m_f} \frac{1}{2j_i + 1} |M_{i \rightarrow f}|^2, \quad (4)$$

式中  $M$  是约化质量， $k'$  和  $k_r$  分别为人射粒子和

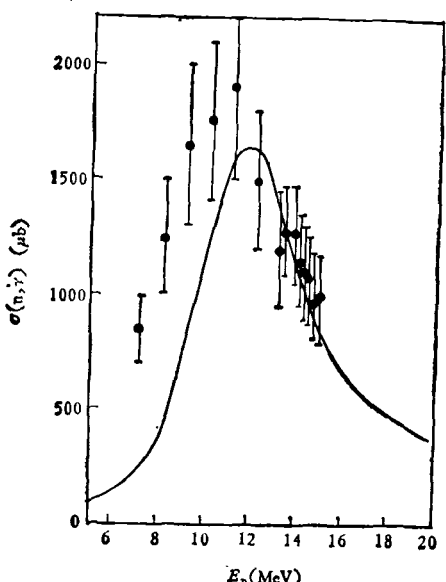


图 4  $^{208}\text{Pb}(n, \gamma)$  反应截面

发射光子的波数。 $j_i$  和  $m_i$  是初态总角动量和其磁量子数。 $m_f$  是末态总角动量的磁量子数。

用(4)式我们作过计算<sup>[7]</sup>。Hideo Kitazawa<sup>[8]</sup> 等人计算了  $^{208}\text{Pb}(n, \gamma)^{209}\text{Pb}$  反应的总截面, 见图 4, 图中的黑点为实验点, 穿过黑线的竖线是实验误差, 连续曲线是实验误差<sup>[8]</sup>。

从图 4 计算曲线与实验符合的程度来看, 这比单纯的直接辐射俘获理论, 或复合核统计理论的计算结果都好得多。这就说明了 SJ 模

型是正确的。特别是最近发现了单极巨共振, 进一步证实了 SJ 模型的正确性。

通过对原子核巨共振的研究, 不仅能解释实验上发现的巨共振现象, 从而使我们加深了对核物质, 核结构的认识; 同时用巨共振的模型理论计算出了有用的核数据, 为核工程技术上的辐射防护提供了有价值的参考资料。因此, 对原子核巨共振问题的研究, 是具有重要现实意义的。

最后, 作者对孙汉城同志的有益建议和提供的图 2, 表示感谢。

## 参 考 文 献

- [1] Fred E. Bertrand, *Ann. Rev. Nucl. Sci.*, **26** (1976), 457.
- [2] G. C. Baldwin and G. S. Klaiber, *Phys. Rev.*, **71** (1947), 3.
- [3] A. B. Migdal, *J. Phys. USSE*, **8** (1944), 331.
- [4] M. Goldhaber and E. Teller, *Phys. Rev.*, **74** (1948), 1048.
- [5] H. Steinwedel and J. H. D. Jensen, *Z. Naturforsch.*, **5a** (1950), 413.
- [6] C. F. Clement and A. M. Lane, *Nuclear Phys.*, **66** (1965), 273.
- [7] 马中玉、高良俊, 核反应理论方法及其应用文集, 原子能出版社, (1980), 192.
- [8] Hideo Kitazawa and Nobuhiro Yamamuro, JAERI-M 5984, (1975), 137.
- [9] Nguyen Van Giai and H. Sagawa, *Nucl. Phys.*, **A 371** (1981), 1.

## 锗酸铋 ( $\text{Bi}_4\text{Ge}_3\text{O}_{12}$ ) 单晶闪烁体

赵 静 安

(清 华 大 学)

1965 年, Nitsche<sup>[1]</sup> 第一次拉成锗酸铋(以下简称 BGO) 单晶。然而把 BGO 单晶作为闪烁体来进行研究, 其历史却还不到十年。1973 年, Weber 等人<sup>[2]</sup>首先用 X 射线激励, 研究了它的发光机理和荧光特性。1977 年, Cho 等人<sup>[3]</sup>对 BGO 和 NaI(Tl) 闪烁体用于探测低能核辐射进行了比较, 指出: 由于 BGO 具有较

大的有效原子序数和密度, 与 NaI (Tl) 相比, 在晶体体积相同的条件下, 检测效率要高得多, 即空间分辨率高; 余辉极小, 可以提高检测扫描速度; 机械强度较大, 无解理性, 可以加工成多种形状; 不会吸湿潮解, 不必进行象 NaI (Tl) 那样的特殊密封, 这样不仅可降低造价, 而且有利于空间分辨率的提高。BGO 闪烁体主要缺